

بررسی نواحی غیر رمزکننده ژن فاکتور ۸ در مقایسه با نواحی انتخابی از ایترون ۱ ژن

فاکتور ۹ انسانی

علی اکبر حداد مشهدی^{۱,۲*}، علیرضا زمردی پور^{۱*}، فرزانه صابونی^۱ و جعفر همت^{۳,۱}

^۱ تهران، پژوهشگاه ملی مهندسی ژنتیک و زیست فناوری

^۲ مشهد- دانشگاه فردوسی مشهد، دانشکده علوم، دپارتمان زیست‌شناسی، انسیتو بیوتکنولوژی

^۳ تهران، سازمان پژوهش‌های علمی و پژوهشی ایران، پژوهشگاه فناوری‌های نوین، پژوهشکده بیوتکنولوژی

تاریخ پذیرش: ۸۶/۱۱/۱۰ تاریخ دریافت: ۸۶/۳/۱۰

چکیده

بمنظور تعیین توالیهای احتمالی دخیل در تنظیم بیان ژن واقع در داخل ایترونهای ژن فاکتور ۸ انعقادی انسان، توالیهای ایترونی این ژن با بخشیهایی از ایترون ۱ ژن فاکتور ۹ انعقادی انسان که نقش تنظیمی آن قبلاً گزارش شده، مقایسه شد. این مقایسه توالیهایی تکراری با طولهای متفاوت بین ۳۵۰-۵۰ جفت باز را در ایترونهای ژن فاکتور ۸ مشخص کرد. توالیهای آشکار شده بیش از ۷۴ درصد همگونی با توالیهای بخشیهای مورد بررسی در ایترون ۱ ژن فاکتور ۹ نشان دادند. اگرچه نمی‌توان رابطه مستقیمی بین تعداد توالیهای تکراری در هر ایترون و طول ایترون مربوطه مشاهده نمود، اما به نظر می‌رسد که الگوی پراکنده‌گی و تعداد توالیهای تکرار شده در میان ایترونهای ژن فاکتور ۸ اتفاقی نیست. عبارت دیگر تعداد و تراکم نمی‌توالیهای تکراری در ایترونهای نزدیک به یکی از دو انتهای^۵ و یا^۳ ژن فاکتور ۸ و همچنین در نزدیکی یکی از دو انتهای ایترونها بیشتر است. جهت یابی این توالیها در طول ایترونهای ژن فاکتور ۸ نشان دهنده وجود تکرارهای معکوس در طول برخی از ایترونها است که می‌تواند در تشکیل ساختارهای ثانویه در پیش‌ساز mRNA ژن فاکتور ۸ و افزایش پایداری آن مؤثر واقع گردد. بررسی نواحی غیر قابل ترجمه در دو انتهای^۳ و^۵ نشان از حضور یک نسخه از توالی تکراری در هر یک از این مناطق می‌دهد. مقایسه توالیهای تکراری آشکار شده با توالیهای تکراری شناخته شده ژنوم انسان، نشان می‌دهد که این توالیها از زیر خانواده‌های رتروترانسپوزونهای شناخته شده Alu هستند. بررسیهای بیشتر حضور توالیهای کوتاه با قابلیت اتصال عوامل نسخه برداری در داخل عناصر تکراری یافت شده را هویدا کرد. بررسی عملکرد توالیهای آشکار شده در ایترونهای ژن فاکتور ۸ گام بعدی در ادامه این تحقیق است.

واژگان کلیدی: ژن‌های فاکتور ۸ و ۹ انعقادی انسان، نواحی غیر رمزکننده، تنظیم بیان ژن، توالیهای تکراری، ایترون

* نویسنده مسئول، تلفن تماس: ۰۴۵۸۰۳۴۸، پست الکترونیک: zomorodi@nigeb.ac.ir

مقدمه

ژنها که موجب اختلال در بیان ژن شده و به بیماری متهمی گردند، شواهدی هستند که نقش تنظیمی نواحی غیر رمزکننده ژن را تأیید می‌کنند (۱۵). عناصر ژنتیکی شناخته شده یوکاریوتی که نقش کلیدی در تنظیم میزان بیان ژن دارند بطور عمده شامل پروموتر و افزاینده (Enhancer) در

تنظیم بیان ژن در موجودات عالی از جمله وظایفی است که عمدهاً بواسطه توالیهای غیرکدکننده داخل و خارج ژنی در سطوح مختلف انجام می‌گیرد که مستلزم وجود توالیهایی با نقش تنظیمی در این نواحی است (۱۰، ۱۱، ۱۶ و ۱۸، ۳۸). جهش‌های موجود در نواحی غیر رمزکننده

ایترونها نسبت می‌دهند نقش آنها در خروج مولکولهای RNA پیک (mRNA) از هسته و افزایش پایداری آنها در سیتوپلاسم است. در این رابطه مجموعه‌ای پروتئینی تحت عنوان Exon Junction Complex (EJC) محدوده‌ای بطول ۲۵ تا ۳۰ نوکلئوتیدی از انتهای^۵ اگزون-ایترون را پوشش می‌دهد. این مجموعه پس از پردازش ایترونها به mRNA بالغ متصل باقی مانده و با ناقلهای پروتئینی که در انتقال محصول رونویسی به خارج از هسته نقش دارند برهمکنش داده و خروج مولکولهای mRNA بالغ از هسته را تسهیل می‌کنند^(۹). این کمپلکس در میزان پایداری محصول رونویسی در سیتوپلاسم نیز مؤثر است. تشکیل مجموعه‌ای ریبونوکلئوپروتئینی اسپلایسوزوم در حضور ایترونها نیز بر بیان ژن تأثیر گذار است در این رابطه برخی از اجزاء کمپلکس مذکور در برهمکنشهایی که با عوامل رونویسی دارند باعث افزایش سطح رونویسی می‌شود^(۱۰). همچنین می‌توان به نقش ایترونها در پیرایش چند گزینه‌ای مولکولهای RNA پیک اشاره نمود که تنوع در محصولات یک ژن را موجب می‌شود^(۱). امروزه مشخص شده است که ایترونها نقش تعیین کننده‌ای در تکامل ژنوم انسان دارند. در این رابطه می‌توان به نقش عناصر تکراری داخل ایترونها بعنوان ابزارهای نوترکیبی اشاره کرد که منجر به تبادل ژنتیکی کنترل شده بین آللها شده و در نتیجه در ایجاد تنوع ژنتیکی ناشی از کراس اور که منع اصلی تنوع ژنتیکی در یوکاریوتها می‌باشد نقش دارند^(۱۱). فرآیند انتقال اگزون یا پیرایش چند گزینه‌ای نیز از فرآیندهایی است که بواسطه حضور عناصر تکراری در ایترون رخ می‌دهد. پیرایش چند گزینه‌ای RNA های پیک با ایجاد پلی پیتیدهای متنوع از یک ژن در ایجاد تنوع ژنتیکی و فنوتیپی در یک مسیر سازمان یافته نقش مؤثری دارد. این نقش ایترون در بسیاری موارد بواسطه عناصر مشابه رتروپوزونی موجود در برخی از آنها، انجام می‌پذیرد. در جریان این فرآیند برخی از ایترونها نیز به همراه اگزونهای مجاور خود جایگزین آلل بدون ایترون شده و

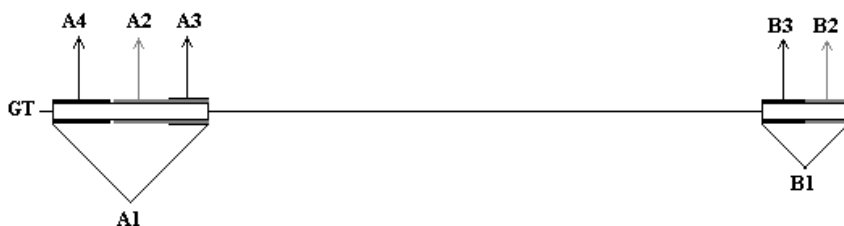
بالادست ژن و توالیهای خاتمه دهنده رونویسی و نیز توالیهای مؤثر در فرآیند پلی آدنیلاسیون در پائین دست ژن می‌باشند. همینطور می‌توان به برخی عناصر مجاور ژن اشاره کرد که تنظیم بعد از نسخه برداری را بعده دارند و در نواحی غیر قابل ترجمه^۶ و^۷ در دو انتهای ژن قرار دارند^(۱۹، ۳۴ و ۴۳). زمانیکه از حضور برخی از عوامل تنظیمی در نواحی داخلی ژن سخن به میان می‌آید، ایترونها جایگاه ویژه‌ای را به خود اختصاص می‌دهند. ایترونها بخشی از نواحی غیرمزکننده می‌باشند که در داخل بیشتر ژنهای یوکاریوتی قرار دارند و نسبت به نواحی ژنی رمز کننده طول بزرگتری را به خود اختصاص می‌دهند. این موضوع که یک سلول یوکاریوتی مقادیر زیادی از انرژی و مواد را برای تکثیر و حفظ ایترونها صرف می‌کند دلالت بر اهمیت وجود نقش مفید ایترونها در سلول دارد. بسیاری از مطالعات نشان داده اند که تغییر توالیهای ایترونی بطور مستقیم و یا غیر مستقیم در ایجاد سرطان نقش دارد^(۲۷). ارتباط مستقیم بین ایترونها و سرطان را می‌توان بوجود احتمالی عوامل افزاینده و یا خاموش کننده در ایترونها نسبت داد. حضور ایترون یا بخشی از آن در کنار یک ژن می‌تواند سبب تغییر در سطح بیان ژن و حتی افزایش آن تا ۵۰۰ برابر شود^(۱۱ و ۲۶). البته باید اذعان داشت که تغییرات بیانی یک ژن که به حضور ایترون نسبت داده می‌شود بعوامل جنبی متعددی چون ماهیت ایترون، موقعیت فیزیکی آن در ژن از نظر فاصله با دو انتهای^۳ یا^۵ ژنی که در آن بکار رفته است و نیز به نوع سلول میزان بستگی دارد^(۷). حضور جایگاه‌های مؤثر در فرآیند پلی آدنیلاسیون در ایترون به خصوص ایترون انتهایی ژن از دیگر دلایل تأثیر ایترون در بیان ژن است^(۱۱). مزايا و فعالیتهای متعدد دیگری را نیز به ایترونها نسبت می‌دهند. از جمله می‌توان به انجام رونویسی از توالیهای ایترونی که منجر به تولید مولکولهای ریز-RNA (Micro-RNA) می‌شود، اشاره نمود که در فرآیندهای تنظیمی ژن دخالت دارند^(۴۵). از دیگر وظایفی که به

فاکتور ۸ انعقادی و اینکه بخش اعظم ژن فاکتور ۸ در برگیرنده نواحی غیر کدگذار بویژه نواحی ایترونی است، تعیین عناصر تنظیمی در این نواحی به فهم هر چه بیشتر ما از نحوه تنظیم این ژن کمک خواهد نمود.

ژن فاکتور ۹ به عنوان ژن مدل برای اهداف مختلف مورد توجه پژوهشگران بوده است (۴ و ۲۴). اطلاعات موجود نشانگر وجود برخی فعالیتهای تنظیمی در نواحی مختلف از ایترون ۱ ژن فاکتور ۹ است (شکل ۱ و جدول ۱). در مطالعه حاضر توالیهای ۲۵ ایترون ژن فاکتور ۸ با قطعاتی از ایترون ۱ ژن فاکتور ۹ انعقادی انسان که نقش تنظیمی برخی از نواحی آن قبلًا گزارش شده (۱۸ و ۳۶) مقایسه شده است و توالیهایی که احتمالاً در تنظیم بیان ژن دخالت دارند در طول ایترونها ژن فاکتور ۸ انعقادی انسان شناسایی و معرفی شده اند.

به این ترتیب انتقال اگزونها را از نقطه ای به نقطه دیگر تسهیل می کنند (۶). بر اساس شواهدی که در بالا ذکر شد، ایترونها در ساختار ژنتیکی بوکاریوتها نقش تعیین کننده ای دارند. لذا شناختن ایترونها و توالیهای موجود در آنها گام مهمی در جهت درک بیش از پیش و کارآبی ایترونها خواهد بود.

ژن فاکتور ۸ دارای ۱۹۲۰۲۹ جفت باز است که بخش اعظم آن متعلق به نواحی غیر رمزکننده شامل ناحیه بالادستی با ۳۱۱۴ جفت باز، ناحیه پایین دستی با ۱۹۶۷ جفت باز و نواحی ایترونی با ۱۷۷۹۱۹ جفت باز است (۱۴). نواحی بین اگزونی این ژن در ۲۵ ایترون توزیع شده است. اختلال در این ژن و برخی دیگر از زنهای رمزکننده فاکتورهای انعقادی مثل ژن فاکتور ۹ می تواند هموستان خون را به مخاطره اندازد. با توجه به اهمیت



شکل ۱- ایترون ۱ ژن فاکتور ۹ انسانی و موقعیت زیر قطعات مربوطه گه در جدول ۱ به آنها اشاره شده است.

جدول ۱: موقعیت و تأثیر زیر قطعاتی از ایترون ۱ ژن فاکتور ۹ انسانی بر میزان بیان (۱۸).

نام زیر قطعه ایترون ۱ ژن فاکتور ۹ انسان	موقعیت قطعه بر روی ایترون ۹ ژن فاکتور ۹	تأثیر بر بیان	نام و موقعیت عنصر تکراری
A ۱	۹۸ - ۱۳۱۲	+	
A ۲	۵۸۵ - ۱۳۱۲	+	
A ۳	۱۰۰۹-۱۳۱۲	-	عنصر ۵ (۱۱۵۱-۱۲۰۴)
A ۴	۹۸ - ۶۵۰	++	عنصر ۴ (۵۸۴۲-۶۰۷۱)
B ۱	۵۶۶۰-۶۳۵۰	+	عنصر ۱ (۵۸۴۸-۶۱۳۰)
B ۲	۶۰۱۱ - ۶۳۵۰	-	
B ۳	۵۶۶۰ - ۶۰۷۰	-	

مواد و روشها

توسط plantier و همکارانش (۳۶) تأیید شده است. آنها نشان دادند که قطعات A₁+B, A₂, A₄ و B₁ میزان بیان ژن را افزایش داده، در حالیکه حضور قطعات A₃, B₂ و B₃ در بالادست ژن بیان آن را کاهش می‌دهد (شکل ۱ و جدول ۱). این اثرات نشانگر حضور احتمالی توالیهای تنظیمی در ایترونون ۱ ژن فاکتور ۹ است. بمنظور بررسی امکان وجود توالیهای تنظیمی در ایترونوهای ژن فاکتور ۸ انسانی، در اولین مرحله از این پژوهش با استفاده از برنامه بلاست-۲ (توالیهای ۲۵ ایترونون ژن فاکتور ۸ با توالیهای هفت گانه ایترونون ۱ ژن فاکتور ۹ (جدول ۱) بصورت دو بدو مورد مقایسه قرار گرفتند. این مقایسه منجر به آشکار سازی مجموعه‌ای از توالیهای تکراری در میان ایترونوهای ژن فاکتور ۸ شد که با دو قطعه ۲۷۹ و ۳۶۶ جفت بازی بترتیب در نواحی B₁ و A₄ ایترونون ۱ ژن فاکتور ۹ از همگونی ۷۴ تا ۱۰۰ درصد برخوردار می‌باشد. از این پس از قطعه ۲۷۹ جفت بازی که از ناحیه B₁ از ایترونون ۱ ژن فاکتور ۹ مشتق می‌شود با نام عنصر ۱ و از قطعه ۳۶۶ جفت بازی مشتق شده از قطعه A₄ ایترونون ۱ ژن فاکتور ۹ با نام عنصر ۴ یاد خواهد شد. لازم به ذکر است که نتایج حاصل از فرایند تشابه یابی قطعات همپوشان B₂ و B₃ کامل کننده یکدیگر و تأیید کننده نتایجی است که از بررسی قطعه B₁ بدست آمد (شکل ۱).

بر اساس حضور و یا عدم حضور توالیهای همگون با عناصر ۱ و ۴، ایترونوهای ژن فاکتور ۸ انسانی در دو گروه ۱۶ و ۹ تایی قرار می‌گیرند. طول ایترونوهای ژن فاکتور ۸ انسانی بین ۲۰۷ تا ۳۲۰۰۰ جفت باز است. طول متوسط ایترونوهای گروه اول به مراتب بلندتر از طول ایترونوهای گروه دوم است. گروه اول حاوی عناصر تکراری است که شامل ایترونوهای شماره ۱، ۳، ۵، ۲، ۱۰، ۹، ۶، ۵، ۳، ۱۱، ۱۰، ۱۱، ۱۲، ۱۳، ۱۴، ۱۸، ۲۰، ۲۲، ۲۳، ۲۴، ۲۵ و ۲۶ هستند (شکل ۲). تعداد توالیهای تکراری آشکار شده در این گروه بین ۱ تا ۱۶ نسخه و طول آنها بین ۵۰ تا ۳۰۰ جفت باز است. در گروه دوم ایترونها هیچگونه همگونی با توالیهای انتخاب شده

توالیهای نوکلئوتیدی مرتبط با ژنهای فاکتور ۸ و ۹ انسانی، بترتیب با شماره‌های دستیابی AY769950 و AF536327 در بانک ژنی (NCBI) مورد استفاده قرار گرفتند (۳). موقعیت قطعات هفتگانه مورد مقایسه در ایترونون ۱ ژن فاکتور ۹ در جدول ۱ ارائه شده است (۱۸). جهت انجام FASTA همگون یابی (Homology search) بین توالیهای نوکلئوتیدی استفاده شد (۳۳). فرآیند همگون Blast با استفاده از برنامه بلاست Basic (Local Alignment Search Tool) انجام شد (۴۵). از bl2seq برنامه‌های موجود در ورودی بلاست برنامه Align two sequences (یا بلاست-۲) مورد استفاده قرار گرفت (۴۴). بمنظور همدیفی و ترسیم درخت فیلوزنی بین نواحی همگون از برنامه ClustalW استفاده شد (۲۱). رسم درخت فیلوزنی با برنامه PhyloDraw انجام شد (۳۷). جهت آشکارسازی نواحی احتمالی با نقش Human promoter prediction پرموتوری از برنامه استفاده شد (۴۱). با هدف آشکارسازی جایگاه‌های مؤثر در فرایند پلی آدنیلاسیون، برنامه POLYAH مورد استفاده قرار گرفت (۸). برای بررسی ارتباط توالیهای تکراری آشکار شده با خانواده‌های عناصر تکراری شناخته شده در طول ژنوم انسان، برنامه Repeat Masking مورد بررسی قرار گرفت (۲۳). حضور متیفهای (بخشهای) تنظیمی در طول توالیهای تکراری با برنامه NSITE مورد بررسی قرار گرفت (۴۰).

نتایج

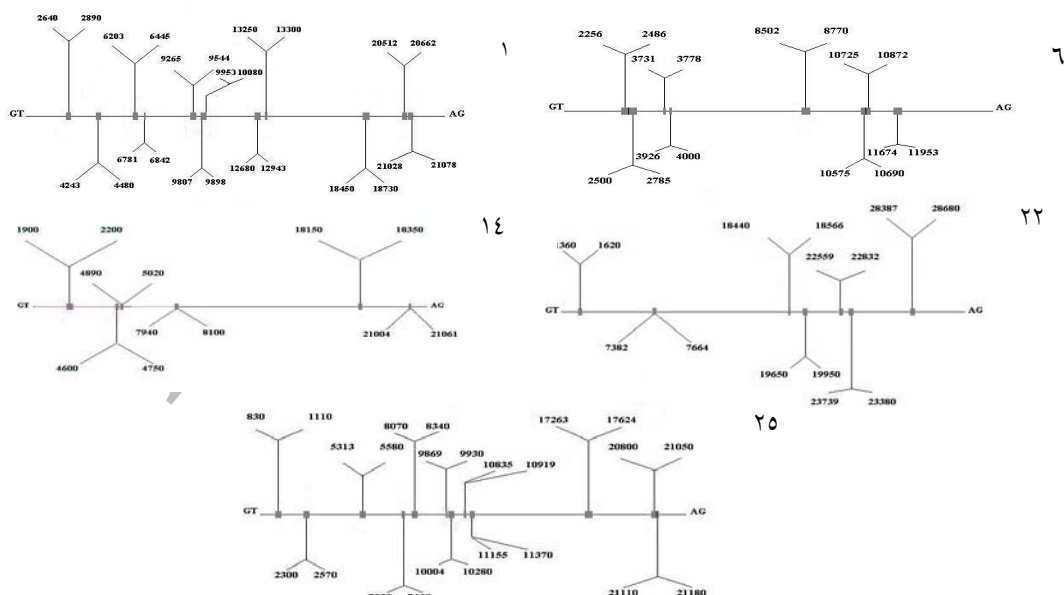
مقایسه توالی ایترونوهای ژن فاکتور ۸ با توالیهای مشتق از ایترونون ۱ ژن فاکتور ۹ انسان: اثرات تنظیمی برخی از قطعات ایترونون ۱ ژن فاکتور ۹ (کاهنده‌گی یا افزاینده‌گی) توسط Kurachi و همکارانش (۱۸) پیشنهاد شده، و همچنین تأثیر این عناصر بر بیان فاکتور ۸ نوترکیب

منعکس است، عنصر ۴ در خانواده توالیهای تکراری LINE (L1) و در زیر خانواده L1PA5 و عنصر ۱ در زیر خانواده SINE از خانواده AluSz

جایابی شدند. هر قطعه از عنصر ۱ شامل دو توالی مربوط به خانواده Alu (دو قطعه ۴۰ جفت بازی متوالی) است که توسط یک قطعه میانی پلی A از یکدیگر جدا می‌شوند (۱۳). البته لازم به ذکر است که بررسیهای مشابه انجام شده بر روی بخشی از عنصر ۱ (با نام قطعه B۲)، نشان داده است که این توالی نیز به تهایی می‌تواند در یک زیر خانواده متفاوت از عناصر تکراری SINE (زیر خانواده SAV) قرار گیرد. همین بررسیها بخش دیگر عنصر ۱ (با نام قطعه B۳) را در خانواده SINE، زیر خانواده AluSz مکان یابی نموده است.

از ایترنون ۱ ژن فاکتور ۹ مشاهده نشد. با توجه به اینکه توالیهای تکراری آشکار شده در ایترنونهای ژن فاکتور ۸ بیشترین شباهت را با دو ناحیه B۱ و A۴ از ایترنون ۱ ژن فاکتور ۹ نشان دادند، عناصر ۱ و ۴ (مشتق شده از نواحی A۴ و B۱) برای بررسیهای بعدی در نظر گرفته شد. لازم به ذکر است که نتایج حاصل از فرایند تشابه یابی قطعه A۳ از ایترنون ۱ ژن فاکتور ۹ با ۲۵ ایترنون ژن فاکتور ۸ تنها یک ناحیه ۵۸ جفت بازی با همسانی ۸۱ درصد را در طول ایترنون ۱۴ ژن فاکتور ۸ مشخص کرد.

ارتباط فیلوزنی عناصر تکراری ایترنونهای ژن فاکتور ۸ با زیر خانواده‌های عناصر LINE و SINE: تکرار شدن توالیهای مرتبط با عناصر ۱ و ۴ در ایترنون ۱ ژن فاکتور ۹ انسانی و توالیهای غیر کد کننده ژن فاکتور ۸ انسانی دلالت بر احتمال قرارگیری این توالیها در یکی از خانواده‌های توالیهای تکراری شناخته شده در سطح زنوم انسان دارد. لذا عناصر مشتق از ژن فاکتور ۹ (۱۸)، بطور مجزا با برنامه Repeat Masking (۲۳) مورد بررسی قرار گرفتند. بر اساس نتایج بدست آمده که در جدول ۲



شکل ۲- موقعیت فیزیکی و الگوی توزیع عناصر مشابه با عناصر ۱ و ۴ در بین برخی از ایترنونهای گروه ۱ ژن فاکتور ۸ (شامل ایترنونهای ۶، ۱۴، ۲۲، ۲۵ و ۲۵)

جدول ۲: عناصر تکراری موجود در ایترون ۱ ژن فاکتور ۹ که توسط نرم افزار برنامه Repeat masking آشکار شد (۲۳).

نام	مبداه	انتها	زیر خانواده توالی تکراری	میزان همگونی	Score
عنصر ۴ ژن فاکتور ۹ (A4)	۱	۳۶۶	L1PA5	۰/۹۶	۳۱۹۰
عنصر ۱ ژن فاکتور ۹ (B1)	۱	۲۷۹	AluSz	۰/۹۱	۱۸۸۶
A ۳	۱۳۹	۱۹۹	L1MD2	۰/۸۹	۴۲۷
B ۲	۱	۱۰۹	SVA	۰/۸۱	۴۶۴
B ۳	۲	۲۳۰	AluSz	۰/۹۰	۱۴۷۹

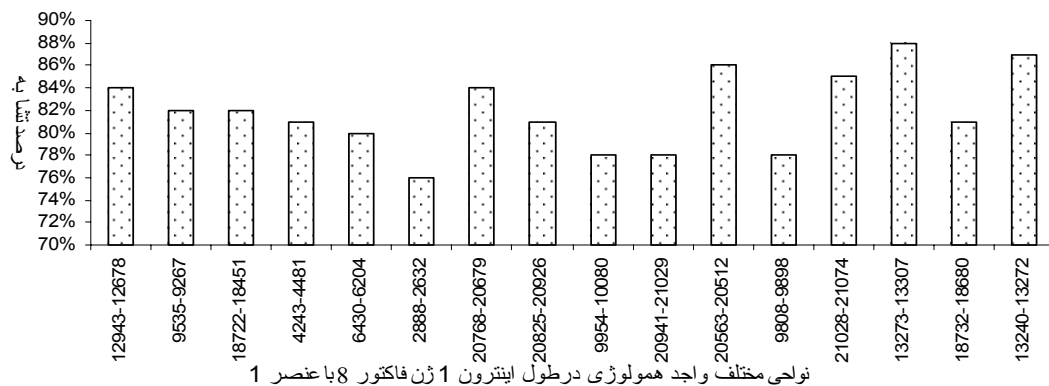
زیر خانواده های تکراری که با عناصر موجود در ایترون ۱ ژن فاکتور ۹ شباهت دارند با اسمای خاص نشان داده شده اند. Score (امتیاز) است که از هم رده بین ایترون ۱ ژن فاکتور ۹ و ایترون ۱ ژن فاکتور ۹ میباشد.

ویژگیهای الگوی توزیع عناصر ۱ تمایل آنها به استقرار در دو انتهای ایترونهای مربوطه است. اما بررسیهای مشابه در رابطه با عناصر ۴، وجود الگوی توزیع معنی داری از آن عناصر را در بین ایترونهای ژن فاکتور ۸ نشان نمی دهد. حضور توالیهای تکراری در بالا دست و پائین دست ژن فاکتور ۸: یک ناحیه ۳۲۸۴ جفت بازی از بالا دست ژن فاکتور ۸ با توالیهای ۲۵ ایترون ژن فاکتور ۸ مقایسه شد. ای که در رابطه با توالی پائین دست ژن فاکتور ۸ (بطول ۱۹۶۸ جفت باز) انجام شد، منجر به آشکار شدن یک توالی ۲۹۶۴ جفت بازی (در حدفاصل بازهای ۲۸۹ تا ۵۸۳ از انتهای ۵) شد که میزان شباهت آن به عناصر تکراری در ایترونهای گروه اول ژن فاکتور ۸ بیش از ۷۵ درصد است. این جایگاه نسبت به محل مؤثر در پلی آدنیلاسیون ژن فاکتور ۸ قابل تمایز است. مقایسه فیلورژنیک قطعات یافت شده در بالا دست و پائین دست ژن فاکتور ۸ با برخی از عناصر نوع ۱ مستقر در ایترونهای ژن فاکتور ۸ این عناصر را به دو گروه مستقل تقسیم نمود. یک گروه با نسخه تکراری بالا دست ژن فاکتور ۸ و گروه دیگر با نسخه پائین دستی که در یک دسته جمع می شوند (شکل ۵).

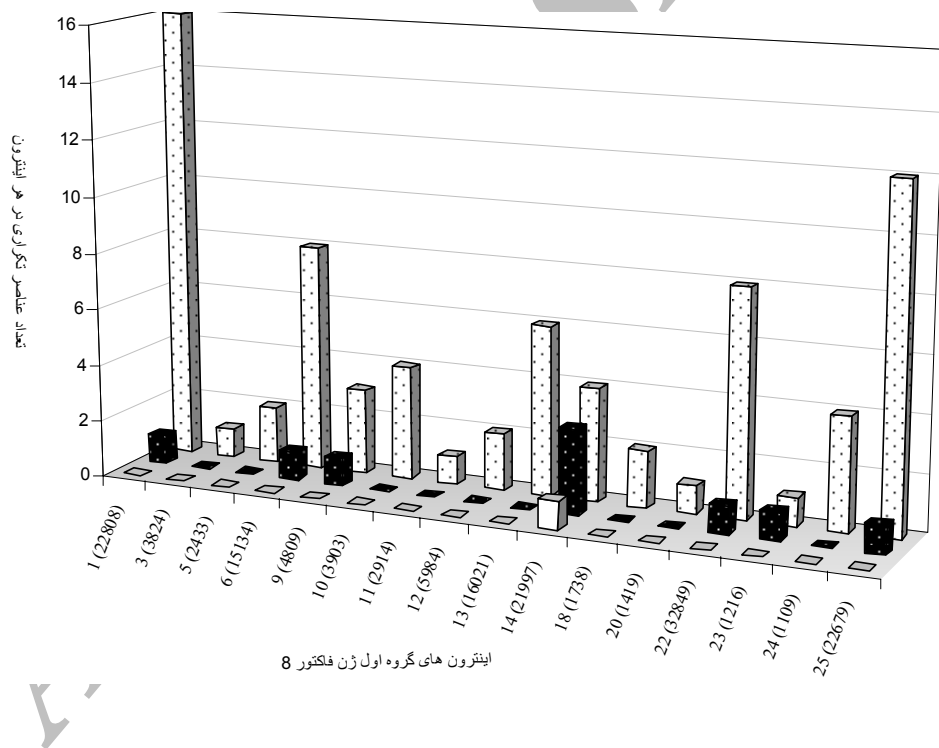
ویژگیها و نحوه پراکندگی عناصر تکراری در طول ایترون های ژن فاکتور ۸ موقعیت فیزیکی و نحوه پراکندگی توالیهای همگون با عناصر تکراری ۱ و ۴ در طول برخی از ایترونهای گروه اول از ژن فاکتور ۸ در شکل ۲ نشان داده شده است. عنصر ۱ در تمامی ایترونهای گروه اول ژن فاکتور ۸ با فراوانی و طولهای مختلف (بین ۳۷ تا ۲۹۴ جفت باز) تکرار شده است. در اینجا برای نمونه موقعیت، تعداد و میزان شباهت نواحی همگون با عنصر ۱ در ایترون ۱ ژن فاکتور ۸ در شکل ۳ ارائه شده است.

در مقایسه ای که بین توالی قطعه ۳۶۶ جفت بازی عنصر ۴ و توالیهای ایترونی ژن فاکتور ۸ انسانی انجام شد، نواحی همگونی در طول ایترونهای ۱، ۲۳، ۲۲، ۱۴، ۹، ۶، ۱۰ نواحی ۹۷ و ۲۵ ژن فاکتور ۸ آشکار شد. این توالیها که تا میزان درصد با عنصر ۴ شباهت دارند، در ۱۰ ناحیه از ایترونهای ژن فاکتور ۸ حضور دارند.

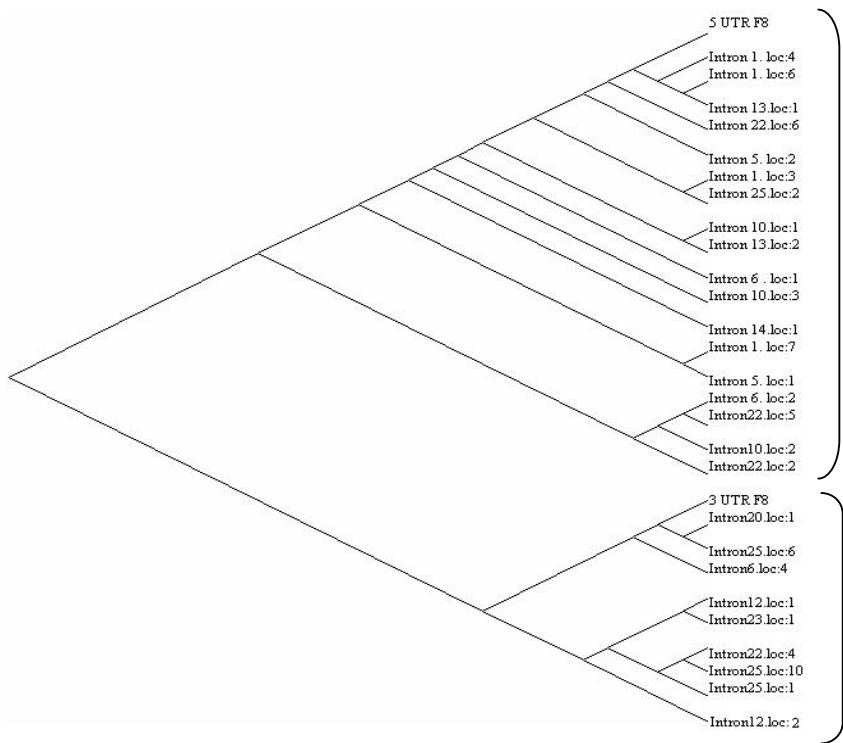
توزیع غیراتفاقی عناصر ۱ در بین ایترونهای ژن فاکتور ۸: نحوه توزیع عناصر نوع ۱ در میان ایترونهای ژن فاکتور ۸ انسانی نشان می دهد که تراکم عناصر ۱ در دو ایترون انتهایی ژن (ایترونهای ۱ و ۲۵) بمراتب بیشتر از ایترونهای میانی این ژن است (شکل ۴). از دیگر



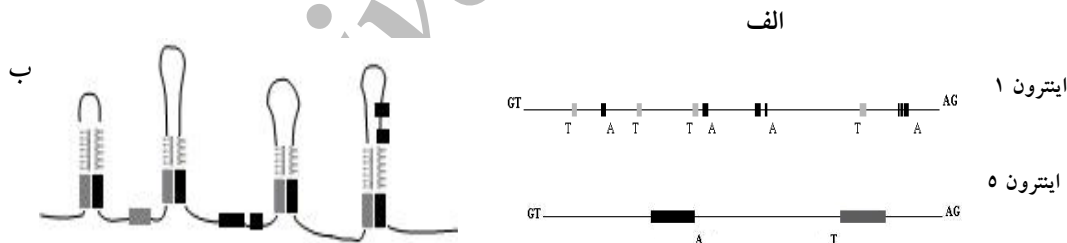
شکل ۳- نمودار بدست آمده از مقایسه عنصر ۱ با توالی ایترنون ۱ فاکتور ۸. میزان شباهت توالی های آشکار شده با توالی های فعال-تنظیمی ایترنون ۱ فاکتور ۹ بصورت درصد نمایش داده شده است. موقعیت نواحی آشکار شده در طول ایترنون ۱ ژن فاکتور ۸ در پایین هر ستون نشان داده شده است.



شکل ۴- نحوه پراکندگی عناصر مشابه با عناصر ۱، ۴ و قطعه A^۳ در طول ایترنوهای گروه اول ۱ ژن فاکتور ۸. شماره و طول هر ایترنون در پایین هر ستون نشان داده شده است. ستون ها از عمق مشکل به جلو نماینده فراوانی عناصر ۱، ۴ و قطعه A^۳ هستند.



شکل ۵- درخت فیلوزنی بین بالادست و پایین دست ژن فاکتور ۸ با نواحی واجد تشابه در طول ایترونهای گروه اول ژن فاکتور ۸ انسانی. شماره ایترونها و موقعیت نسبی قطعات همگون در هر انتهای شاخه های درخت فیلوزنی نشان داده شده است.



شکل ۶- الف: جهت یابی عناصر ۱ در طول ایترون های ۱ و ۵ ژن فاکتور ۸.. حروف T و A به ترتیب دلالت بر توالی های پلی T و پلی A مینمایند. ب : شکل گیری ساختمنهای سنجاق سری در طول ایترون ۱ در نتیجه حضور توالی های معکوس.

در حالیکه نسخه یافت شده در بالادست ژن دارای یک توالی پلی T در انتهای ۵ خود است. نکته جالب توجه این است که این نوع توالیهای تکراری در ایترون ۱ به جزء یک مورد، بصورت یک در میان تکرار شده اند و فوائل این توالیها در کمترین و بیشترین فاصله بترتیب ۲۶۵ تا ۵۱۱ جفت باز است. به این ترتیب این ساختار می تواند احتمالاً به تشکیل ساختارهای سنجاق سری در طول

دو گروه از عناصر نوع ۱ که بر اساس درخت فیلوزنی آشکار شد، در مواردی در جهت معکوس یکدیگر در طول ایترونهای ژن فاکتور ۸ واقع شده اند. شاخصه برخی از این توالیها وجود یک توالی پلی T در انتهای ۵ و یا یک توالی پلی A در انتهای ۳ آنها است (شکل ۶-الف). نسخه تکراری پائین دست ژن فاکتور ۸ با عناصر نوع ۱ که در انتهای ۳ خود دارای توالی پلی A هستند هم گروه است.

ایترونهای برخی از ژنهای مسیر انعقاد خون بمنظور آشکار سازی نواحی مشابه با این توالیها انجام می‌شود، وجود توالیهای همگون با تشابه بیش از ۷۳ درصد را نشان می‌دهد. در جدول ۴ تعدادی از عناصر مشابه با عناصر ۱ و ۴ در طول ایترونهای برخی از ژنهای مسیر انعقاد آورده شده است. الگوی پراکنش این عناصر در طول هر ژن و نیز در طول هر یک از ایترونها در بسیاری موارد نزدیکی به انتهای ۵ و ۳ را رعایت نموده است. همچنین در مواردی وجود توالیهای همگون با عنصر ۱ دیده می‌شود که بطرور معمکوس بدنبال یکدیگر قرار گرفته اند؛ این الگوی قرارگیری توالیها آشکار شده مطابق آنچه که در ایترون ۱ ژن فاکتور ۸ مشاهده شد، می‌تواند احتمال تشکیل ساختارهای سنجاق سری را افزایش دهد. افزایش تراکم عنصر ۱ در طول ایترونهای ژنهای مورد بررسی نسبت به عنصر ۴ نیز از الگوی عمومی مشاهده شده در ایترونهای ژن فاکتور ۸ تبعیت می‌کند.

بحث

بمنظور بیان پروتئینهای بزرگ و پیچیده در سامانه‌های نوترکیب قرار دادن کلیه نواحی مربوط به یک ژن در یک سازه مولکولی میسر نیست. لذا مشاهده می‌شود که بیان اکثر ژنهای در این شرایط نسبت به حالت طبیعی کاهش چشم گیری دارد. در این راستا محققین در جستجوی عواملی هستند که حضور آنها در یک سازه با حداقل اندازه ممکن بتواند نقش افزایشی مناسبی را برای بیان آن پرتوئین فراهم نماید. تنظیم میزان بیان ژن از جمله اعمالی است که عمدتاً توسط توالیهای غیر کد کننده انجام می‌گیرد و برای اینکه عوامل تنظیمی برای بیان یک ژن تأمین گردد می‌باشد این گونه توالیها در کنار توالی ژنی مورد توجه قرار گیرد (۵، ۱۷ و ۳۲). برخی قطعات ایترونی نیز از جمله توالیهای غیر رمز کننده هستند که برای بیان ژنهای میزانهای در ویژه به میزانهای

ایترونها کمک کند (شکل ۶-ب). البته بررسی مشابه توالیهای تکراری در ایترون ۲۵ ژن فاکتور ۸ نشان از تشکیل چنین ساختاری را در آن نمی‌دهد. این نتیجه احتمالاً اهمیت تشکیل ساختار ثانویه سنجاق سری در انتهای^۵ پیشساز مولکول RNA پیک ژن فاکتور ۸ را نشان می‌دهد.

حضور موتفهای مرتبط با تنظیم بیان در ایترونهای ژن فاکتور ۸ انسانی: با در نظر گرفتن نتایج آزمایشگاهی که اثر تنظیمی بخشایی از ایترون ۱ ژن فاکتور ۹ را نشان می‌دهد (۱۸)، احتمال وجود موتفهای اتصال فاکتورهای رونویسی در طول عناصر ایترون ۱ آن ژن با استفاده از نرم افزار NSITE (۳۹) مورد بررسی قرار گرفت. نتایج باست آمده دلالت بر وجود بسیاری از موتفهایی می‌کند که نقش تنظیمی آنها بعنوان توالیهای اتصالی به فاکتورهای رونویسی قبل^۶ توسط سایر محققین نیز گزارش شده است و در بانک اطلاعاتی موجود می‌باشد (جدول ۳).

موتفهای آشکار شده در طول هر دو رشته مکمل عناصر ۱ و ۴ قرار دارند (شکل ۷). براساس این نتایج مجموعاً تعداد ۲۲ موتف تنظیم کننده با منشاء انسانی بر روی عنصر ۱ و تعداد ۴۰ موتف در طول عنصر ۴ آشکار شد که برخی از آنها در جدول ۳ نشان داده شده است. همچنین این بررسیها منجر به آشکار سازی ۲۷ موتف با پتانسیل اتصالی فاکتورهای رونویسی در توالی A^۳ انسانی شد که هیچگونه مشابهتی با موتفهای یافته شده در عناصر ۱ و ۴ ندارند. وجود عناصر تکراری نوع ۱ در ایترونهای ژن فاکتور ۸ مؤید حضور گسترده موتفهای تنظیمی در ایترونهای این ژن است. همچنین به نظر می‌رسد که تراکم این موتفها در ایترونهای ۱ و ۲۵ از ژن فاکتور ۸ بطور نسبی بیشتر از سایر ایترونها باشد.

بررسی پراکندگی توالیهای تکراری مشابه عنصر ۱ و ۴ در برخی دیگر از ژنهای مسیر انعقاد خون: نتایجی که از مقایسه میان عناصر ۱ و ۴ ایترون ۱ ژن فاکتور ۹ با

جدول ۳: برخی از موئیفهای تنظیمی در طول عناصر ۱ و ۴ و توالی A۳ ایترон ۹ فاکتور که با استفاده از برنامه NSITE بدست آمد. این موئیفها قبلاً توسط سایر محققین نیز گزارش شده و در بانک اطلاعاتی موجود است. توالیهای آشکار شده ممکن است همگونی ۱۰۰ درصد با توالیهای وارد نقش تنظیمی در بانک اطلاعات ژنی نداشته باشد، لذا حروف کوچک مبین عدم تطابق توالیهای یافت شده با موئیفهای شناخته شده است.

عناصر تنظیمی آشکار شده در توالی عنصر ۱ از ایترنون ۹ فاکتور ۹		عناصر تنظیمی آشکار شده در توالی عنصر ۴ از ایترنون ۹ فاکتور ۹		عناصر تنظیمی آشکار شده در توالی A۳ از ایترنون ۹ فاکتور ۹	
نام ژن	توالی و موقعیت	نام ژن	توالی و موقعیت	نام ژن	توالی و موقعیت
collagenase	146ATGAGTgAG138	CYC1	117GCCGGGTTTc107	Apo CIII	229tCCCACTGAtGAACt 243
collagenase	146ATGAGTgAG 137	osteocalcin	6GGTggCTCACa16	insulin receptor	294TgTCACCTCC 303
beta-actin	40CtTTTATGG31	zeta 2-globin	51GCAGATcACTt61	gamma-globin	274CTATCTCcATt284
gastrin	210GttGtGGGGTGGGGGG225	beta globin	GAaCtCCTGAC65	hsp70	253GtGGCaGCAC244
c-myc	216GGGTGGG222	apoB	162TGTaATCcACAGeTACT17 7	glycophorin C	159GtGATGGAAA169
BPAG1	248CCCTAAtGC240	alpha cardiac actin	151TgGCGGGTG159	glycophorin C	266cAcTaTGCCTATCTC280
insulin	248CCCTAAATG241	embryonic zeta-globin 1	179GGGAGGcTGA GG190	epsilon globin	296ACACATtTCA286
insulin	248CCCTAAATG241	PAI-2	68TGACCTCA 61	PAI-2	21CAAAAGAC28
insulin receptor	215GGGGtGGGG223	thyroglobulin	121ACTAAAAAtACA132	beta-globin	78CTCaTATCT86
Apolipoprotein B	178CACAGGAA185	EGFR	62CAAGTG57	gamma globin	225TGGGTC230
IL-4	52TgAACTCATTTCt38	involucrin	192TGCCTCA186	K ₉ .	166GAAATgtAAAGT177
beta-globin	217GGTGGGG223	involucrin	106TGAACC112	APRT	230GaCCCACC223
Apo-AII	234CTCcCtCacCCCCCACCC2 15	involucrin	108TeaCCATTCA98	Rh50	79AGTCCTTT72
apolipoprotein E	223CCCCACCcC215	estrogen receptor beta	91TGGcCAGGCTGGTg 78		
EGF receptor	238ATCCCTCCcC229	alpha-spectrin	184GCTGAGgCA192		
		insulin	195TcCtGCCTCAGCC183		
		GSTP1	192TGeCTCAGC184		
		thromboxane synthase	232GCTGAGATCg241		
		s OLI-D	56ATCtGCCTGeCT 45		

جدول ۴: پراکنش عناصر ۱ و ۴ در نواحی ایترونی برخی از ژنهای فاکتورهای انعقادی انسان

نام ژن	تعداد ایترنون	توالیهای مشابه عنصر ۱ (تعداد)									
		شماره ایترنون(تعداد عناصر مشابه)									
فاکتور ۲	۱۳	-	(۴) ۴	(۳) ۶	(۳) ۹	(۲) ۱۱	(۲۶) ۱۲				
فاکتور ۳	۵	-	(۱) ۳					(۱) ۵			
فاکتور ۵	۲۴	(۱) ۴ (۲) ۹ (۲) ۱۰ (۱) ۱۴	(۵) ۲	(۲) ۷	(۱) ۸	(۳) ۱۰	(۱) ۱۴	(۱) ۲۱	(۱) ۲۴		
فاکتور ۷	۸	-						-			
فاکتور ۹	۷	(۱) ۴				(۵) ۶					
فاکتور ۱۰	۷	-	(۲) ۱	(۴) ۲	(۲) ۴	(۳) ۵	(۳) ۶	(۲) ۷			
فاکتور ۱۱	۱۴	-	(۲) ۲	(۱) ۴	(۱) ۵	(۳) ۷	(۱) ۱۰	(۱) ۱۱	(۲) ۱۳	(۱) ۱۴	
فاکتور ۱۲	۱۳	-						-			
فاکتور ۱۳	۱۱	(۱) ۹	(۲) ۱۰	(۱) ۵		(۲) ۹		(۱) ۱۰			

> عنصر ۱

GGCAT[GGTGGCTCACACCTATAATCCCAGCACTTCAGAGGCCAGGAG[GCGAGATCACTTGAGGTAGGAGTCAGGACACCA
GCCTGGCCAACAAGGTGAAATGG[TGAAACCCGGCTTACTAAAAATACA]AAAATTAGCTGGGATGG[TGGCGGGTGCCTG]
TAATCCCAGCTACTGGGAGG[CTGAGGCAGGAAGATAGCTGAACCTGGAGATGGAGGTTGCAGTGA[GCTGAGATCGCACC
ACTGCACTCCAGCTGGGCACAGAGCAAGACTC

> عنصر ۱ (reverse)

GAGTCCTGCTCTGTCGCCAGGCTGGAGTGCAGTGGTGCATCTCAGCTCACTGCAACCTCCATCTCCAGGTTCAAGCTATT
CTCC[GCGCTCA]GCCTCCCAGTAGCTGGGATTACAGGCACCCGCCACCATGCCAGCTAATTGGTATTTAGTAA[GCCGG
GGTTT[ACCATTCACCTTG]TGCCAGGCTGT[GCGAACCTCTGCC]AAGTGATCTGCC[GCGCTCTGAAAGTGC
TGGGATTATAGGTGTAGCCACCATGCC

> عنصر ۴

GGCACATATAACCCATGGAATACTAGGCAGGCCATAAAAGAAAATGAGTTCATGTCCTTGAGGGACATGGATGAAGCTAG
AAACCATCATTCTCAGCAA[CTATCGCAAGG]ACAAAAAAACCAAACACCG[CATGTTCTCACTCA]AGGTGGAACTGAACAAT
G[AGAACAC]TGGACACAGGAAGGGGAACATCACACACCGGGGCT[GITGTGGGGTGGGGGGTGAGGGG]AGGGATAGCATT
AGGGATATACTTAATGCTAAATGACGAGTTAATGGGTACAGCACCCAATGGCACATGTATACATATGTAACAAACCTG
CTCGTTGTGCACATGTACCCCTAAACTAAAGTATAATAA

> عنصر ۴ (reverse)

TT[ATTATACTTTAAGT]TTAGGGTACATGTGCACAACGAGCAGGTTGACATATGTATACATGTGCCATGTTGGTGTGCTGT
ACCCATTAACCGTCATTAGCATTAGGTATATC[CCCTAATGCTATCC]CTCCCTACCCCCCACCC[ACACAGGCCCGGT
GTGTGATGTTCCCCTCCGTGTCAGTGTCTCATGGT[CAGTTCCCACCTATGAGTGA]GACATGCGGTGTTGGTTTT
GTCCTGGCAGATGTTGCTGAGAATGATGGTTCTAGCTCATCCATGCC[AAGGAG]ATGAACTCATTTCTTTATG
[CTGCCTAGTATTCCATGGTGTATATGTGCC

شکل ۷- موئیفهای تنظیمی آشکار شده در طول هر دو زنجیره مکمل از هر یک از عناصر ۱ و ۴. موقعیت موئیفهای تنظیمی آشکار شده در هر مورد با کادر مشخص شده است.

کمتری برخور دارند. این بررسیها منجر به آشکار سازی دو گروه عمده از توالیهای تکراری در طول تمامی ۱۶ ایترون گروه اول شد که از شباهت ۷۴ تا ۱۰۰ درصد با دو ناحیه با طولهای ۲۷۹ و ۳۶۶ جفت باز در ایترون ۱ ژن فاکتور ۹ برخوردار می باشند. این دو ناحیه از ایترون ۱ ژن فاکتور ۹ هستند. بررسیهایی که توسط kurachi و همکارانش (۱۸) انجام شد نشان داد که قطعه A۴ بیشترین اثر افزایشی را بر بیان ژن گزارشگر دارد. همان مطالعه نیز نشان داد که قطعه B۱ از ایترون ۱ ژن فاکتور ۹ در بالادست یک ژن گزارشگر می تواند بیان آن را تا حدود ۱/۵ برابر افزایش دهد. بررسیهای انجام شده در مطالعه حاضر نشان داد که این دو گروه از توالیها (عناصر ۱ و ۴) از تراکم و توزیع

هترولوگ مورد توجه هستند (۱۱، ۱۸ و ۳۸). با توجه به طول بسیار زیاد ایترونهای انجام آزمایشها عملی بصورت حذف سریالی توالیها بمنظور آشکار سازی نواحی مؤثر در تنظیم بیان ژن بسیار وقت گیر و هزینه برخواهد بود. لذا بمنظور کاهش هزینه ها می توان نواحی واجد پتانسیل تنظیمی را با انجام آنالیزهای بیوانفورماتیکی آشکار نموده و سپس بطور هدفمند با طراحی آزمایشها در جهت استفاده از این توالیها اقدام کرد. ژن فاکتور ۸ انسانی در دسته ژنهای حاوی ایترونهای با اهمیت از نظر عملکرد قرار دارد. در بررسی مقایسه ای حاضر ایترونهای ژن فاکتور ۸ انسانی در دو گروه ۱۶ و ۹ تایی جای گرفتند، که گروه اول حاوی توالیهای تکراری رتروترانسپوزونی هستند و گروه دوم از نظر حضور توالیهای تکراری از اهمیت

ایترون داخلی ژن فاکتور ۸ شامل ایترونهای ۱۴ و ۲۲ بترتیب با طولهای ۲۱۹۹۷ و ۳۲۸۴۹ جفت باز است که از نظر طول با دو ایترون انتهایی ۱ و ۲۵ بترتیب با طولهای ۲۲۸۰۸ و ۲۲۶۷۹ جفت باز، بعنوان بزرگترین ایترونهای ژن فاکتور ۸ قابل مقایسه هستند. لیکن از نظر تعداد و توزیع عناصر تکراری با هم تفاوت قابل ملاحظه دارند. به این معنی که تعداد عناصر تکراری در دو ایترون انتهایی ۱ و ۲۵ بمراتب بیشتر از تعداد عناصر تکراری در آن دو ایترون داخلی است. بنابراین در این مورد می‌توان تعداد عناصر تکراری نوع ۱ را در هر ایترون با موقعیت آن ایترون مرتبط دانست. این شواهد احتمالاً بر اهمیت دو ایترون ابتدایی و انتهایی ژن فاکتور ۸ در تنظیم بیان ژن دلالت می‌نماید. اهمیت دو ایترون انتهایی در بیان ژنها در رابطه با برخی ژنهای دیگر نیز مطرح است (۱۰، ۱۹ و ۳۴). پراکندگی توالیهای واحد پتانسیل تنظیمی آشکار شده در طول اکثر ایترونهای این ژن از نظم خاصی پیروی می‌کند، بطوریکه تمرکز بیشتر این توالیهای تنظیمی به سمت^۵ و^۳ در طول ایترونها است. پراکندگی محدوده های تنظیمی احتمالی آشکار شده در طول برخی از ایترونهای این ژن، نظر ایترون^۹ و^{۱۰} از نظم حاکم بر سایر ایترونهای پیروی نمی کند. بررسیهای مقایسه ای حاضر از وجود یک نسخه از عناصر نوع ۱ در بالا دست و در پائین دست ژن فاکتور ۸ نیز خبر می دهد. از نظر ساختار نوکلئوتیدی مجموعه عناصر نوع ۱ موجود در نواحی ایترونی و نواحی غیر قابل ترجمه بالا دست و پائین دست ژن فاکتور ۸ در دو دسته قرار می گیرند. در یکی از این دسته ها یک توالی پلی T در انتهای^۵ و در گروه دیگر یک توالی پلی A در انتهای^۳ قرار دارد. این ویژگی از وجود توالیهای تکراری معکوس در طول ایترونهای ژن فاکتور ۸ خبر می دهد. چنانچه این توالیهای تکراری معکوس در مجاورت هم باشند، مانند حالت مشاهده شده در ایترون ۱ ژن فاکتور ۸، می توانند در پیشساز مولکولهای mRNA رونویسی شده به تشکیل ساختارهای سنجاق سری (stem-

مشابه در طول ایترونهای ژن فاکتور ۸ برخوردار نیستند، بطوریکه عناصر نوع ۱ در تمامی ایترونهای گروه اول ژن فاکتور ۸ با فراوانیهای متفاوت تکرار شده، ولی عناصر ۴ تنها در ۷ ایترون از میان ایترونهای بیست و پنجمگانه ژن فاکتور ۸ مشاهده می شوند. مقایسه این توالیها با خانواده های توالی تکراری شناخته شده ژنوم انسان، تعلق آنها را به زیر خانواده هایی از رتروترانسپوزونها نشان می دهد (۱۳ و ۲۸). در این رابطه می توان به تراکم بالای توالیهای SINE در مقایسه با توالیهای متنسب به زیر خانواده های LINE در ایترونهای انتهایی ژن فاکتور ۸ اشاره نمود که نشان دهنده حضور احتمالی یک ساختار تنظیم کننده در انتهای^۵ یا^۳ ژن فاکتور ۸ است. توالیهای Alu (از زیر خانواده های توالیهای موجود در خانواده SINE) بطور معمول دارای یک ساختار دو بخشی بصورت مونومرهای چپ و راست است که بوسیله یک توالی غنی از آدنین به یکدیگر اتصال دارند (۱۳). بررسی توالیهای تکراری نوع ۱ ایترونهای ژن فاکتور ۸ نیز وجود اینگونه توالیهای دو بخشی متصل به یکدیگر با یک توالی غنی از آدنین نشان می دهد.

نکته قابل توجه در رابطه با عناصر نوع ۱ موجود در ایترونهای مختلف ژن فاکتور ۸ غیر تصادفی بودن پراکندگی آنها است که این از ویژگیهای توالیهای تکراری Alu است که توسط سایر محققین نیز گزارش شده است و بعنوان بزرگترین اسرار عناصر Alu در سطح ژنوم انسان از آن پاد می شود (۲۹). در رابطه با نحوه توزیع این توالیها می توان برای مثال به فراوانی عناصر نوع ۱ در دو ایترون انتهایی ژن فاکتور ۸ (ایترونهای ۱ و ۲۵) اشاره کرد که به مراتب بیشتر از سایر ایترونهای میانی این ژن است. بررسی فراوانی این عناصر در سایر ایترونهای ژن فاکتور ۸ نشان می دهد که نمی توان یک نسبت مستقیم بین طول ایترون و تعداد عناصر تکراری در آن قائل شد و بعبارت دیگر تعداد نسخه های توالیهای تکراری در یک ایترون را نمی توان ناشی از طول آن دانست. شاهد این مدعای دو

رونویسی در این توالیها، فرضیه حضور احتمالی عناصر تنظیمی در این توالیها را تقویت می‌نماید. البته لازم است در اینجا بوجود تفاوت الگوی عناصر ۴ (LINE) و ۱ (SINE) از نظر نوع موتفیف اشاره نمود. با در نظر گرفتن نقش افزاینده این دو عنصر و اختلاف آنها از نظر موتفیف‌های آشکار شده می‌توان پیشنهاد نمود که این دو عنصر نقش خود را برای افزایش بیان ژن فاکتور ۸، از دو مسیر جدا انجام می‌دهند. اختلاف موتفیفها در قطعه A3 با موتفیف‌های که در عناصر ۱ (در قطعه B1) و ۴ (در قطعه A4) وجود دارند، مؤید نتایج آزمایشی است که قبلاً نقش کاهنده A3 و نقش افزاینده دو قطعه B1 و A4 را نشان داده است (۱۸). غیر از عناصر Alu برای سایر خانواده‌های رتروپوزونی نیز نقش مؤثر در بیان پیشنهاد شده است. مثلاً عناصر LINE-1 بعنوان سیگنال پلی آدنیلیشن گزارش شده است (۱۲ و ۲۲). نتایج حاصل از این تحقیق علاوه بر ایترونهای ابتدایی و انتهایی بر اهمیت سایر ایترونها نیز در تنظیم بیان ژن تأکید دارد. در مجموع این مطالعه شواهدی از حضور برخی عناصر تنظیم بیانی در نواحی غیر قابل ترجمه ژن فاکتور ۸ بویژه در ایترونهای این ژن فراهم نمود که تعیین عملکرد احتمالی آنها با بررسی عملی تأثیر قطعات حاوی عناصر یافت شده بر میزان بیان یک ژن گزارشگر میسر خواهد بود.

قدرتانی: نویسنده‌گان این مقاله از خانم دکتر زرین مینوچهر و آقای فرهاد شکوهی فر برای ارائه پیشنهادات ارزشمندانه قدردانی می‌نمایند.

(loop) منجر شوند. توالیهای تکراری در ایترون ۲۵ در انتهای ۳ ژن فاکتور ۸ نشان از تشکیل چنین ساختاری را در آن نمی‌دهد. این نتیجه اهمیت تشکیل ساختار ثانویه سنجاق سری در انتهای ۵ مولکولهای RNA پیک ژن فاکتور ۸ را نشان می‌دهد. وجود چنین ساختارهای در مولکولهای RNA نابالغ (پردازش نشده) به پایداری آن کمک می‌نماید. این توانایی توالیهای Alu (یعنی نقش افزاینده پایداری mRNA که قبلاً توسط سایر محققین پیشنهاد شده است) احتمالاً در تلفیق با signal (SRP)recognition particle (۱۳). علاوه بر نقش ساختمانی عناصر تکراری در تکامل ژنوم میزبان، از وظایف دیگری که برای توالیهای تکراری Alu در سطح ژنوم پرایمیت ها پیشنهاد کرده اند، تأثیر آنها در بیان ژنها می‌باشد، که تأثیر آن در فرآیندهای رونویسی، پردازش‌های چند گزینه‌ای مولکولهای RNA پیک، ویراستاری RNA و تنظیم ترجمه آشکار شده است (۱۳). یکی دیگر از وظائف جالب توجه کسب شده توسط عناصر تکراری نزدیک به ژنها از جمله عناصر Alu، نقش تنظیم نسخه برداری آنها است که بواسطه اتصال فاکتورهای رونویسی به آنها انجام می‌شود (۲، ۲۵، ۳۰، ۳۱ و ۳۵). نتایج بررسی حاضر نیز نشانگر حضور چشمگیر این نوع از توالیها در طول عناصر تکراری ژن فاکتور ۸ است.

در مجموع نحوه استقرار توالیهای تکراری در هر ایترون و حضور آنها در بالا دست و پائین دست ژن فاکتور ۸ و همچنین حضور پرترکم موتفیف‌های اتصال فاکتورهای

منابع

- Asy, C. M., Williams-Ahlf, B., Naggert, J. and Saith, S. 1992. Intron-Exon organization of the gene for the multifunctional animal fatty acid synthase," *Proc Natl Acad Sci USA* 89: 1105-8.
- Babich, V., Aksenov, N., Alexeenko, V., Oei, S. L., Buchlow, G., Tomilin, N. 1999. Association of some potential hormone response elements in human genes with the Alu family repeats. *Gene*, 239:341 -3349.
- Benson, D. A., Karsch-Mizrachi, I., Lipman D. J., Ostell, J. and Wheeler, D. L. 2006. National Center for Biotechnology Information, National Library of Medicine, National Institutes of Health, Building 38A, 8600 Rockville Pike, Bethesda, MD 20894, USA, *Nucleic Acids Res.* Jan 1;34(Database issue):D16-20 <http://www.ncbi.nlm.nih.gov>.
- Briet, E., Bertina, R.M., van Tilburg, N. H., and Veltkamp, J.J. 1982: Hemophilia B Leyden. A

- sex-linked hereditary disorder that improves after puberty. *N Engl J Med* 306:788-790.
5. Brinster, R. L., Allen, J. M., Behringer, R. R. Gelinas, R. E. and Palmiter, R. D. 1988. Introns increase transcriptional efficiency in transgenic mice. *Proc. Natl Acad Sci USA*, Vol. 85, pp. 836-840.
 6. Bryk, M. and Belfort, M. 1990. Spontaneous shuffling of domains between introns of phage T4. *Nature* 346:396.
 7. Chamary, J. V. and Hurst, L. D. 2004. Similar Rates but Different Modes of Sequence Evolution in Introns and at Exonic Silent Sites in Rodents: Evidence for Selectively Driven Codon Usage. *Mol. Biol. Evol.* 21(6):1014-1023.
 8. Chu, W. M., Ballard, R., Carpick, B. W., Williams, B. R. and Schmid, C. W. 1998. Potential Alu function: regulation of the activity of double-stranded RNA-activated kinase PKR. *Mol. Cell. Biol.*, 18, 58-6.
 9. Dostie, J. and Dreyfuss, G. 2002. Translation Is Required to Remove Y14 from mRNAs in the Cytoplasm. *Current Biol.*, Vol. 12, 1060-1067.
 10. Fong, Y. W., and Zhou, Q. 2001. Stimulatory effect of splicing factors on transcriptional elongation. *Nature*, Vol. 414, pp. 929-933.
 11. Furger, A., O'Sullivan, J. M., Binnie, A., Lee, B. A. and Proudfoot, Nick. J. 2002. Promoter proximal splice sites enhance transcription. *Genes & Development* 16:2792-2799.
 12. Han, J. S. and Boeke, J. D. 2005. LINE-1 retrotransposons: modulators of quantity and quality of mammalian gene expression. *Bioessays*, 27, 775-784.
 13. Häsler, J. and Strub, K. 2006. Alu elements as regulators of gene expression. 2006. *Nucleic Acids Res.* Vol. 34, No. 19 5491-5497.
 14. Hedner, U., Ginsburg, D., Lusher, J. M. and Katherine, A. High. 2000. Congenital Hemorrhagic Disorders: New Insights into the Pathophysiology and Treatment of Hemophilia. *Hematology*, January 1, (1): 241-265.
 15. Hirosawa, S., Fahner, J. B., Salier, J. P., Wu, C. T., Lovrien, E. W., and Kurachi, K. 1990. Structural and functional basis of the developmental regulation of human coagulation factor IX gene: factor IX Leyden. *Develop Biol.* 87(12): 4421-4425.
 16. Ismail, S. I., Kingsman, S. M., Kingsman, A. J., and Uden² M. 2000. Split-Intron retroviral vectors: enhanced expression with Improved Safety. *J Virol*, Vol. 74, No. 5,p. 2365-2371.
 17. Jonsson, J. J., Foresman, M. D., Wilson, N. and McIvor, R. S. 1992 .Intron requirement for expression of the human purine nucleoside phosphorylase gene. *Nucleic Acids Res*, Vol. 20, No. 12 3191-3198.
 18. Kurachi, S., Hitomi, Y. Furukawa M, Kurachi K. 1995. Role of intron I in expression of the human factor IX gene. *J Biol Chem.* 270(10):5276-81.
 19. Larizza, A., Makalowski, W., Pesole, G., Saccone, C. 2002. Evolutionary dynamics of mammalian mRNA untranslated regions by comparative analysis of orthologous human, artiodactyl and rodent gene pairs. *Comput Chem.* 26:479-490.
 20. Lipman, D. J. 1997. Making (anti)sense of non-coding sequence conservation. *Nucleic Acids Res* 25:3580-3583.
 21. Higgins, D., Thompson, J., Gibson, T. Thompson, J. D., Higgins, D. G., Gibson, T. J. 1994. CLUSTAL W: improving the sensitivity of progressive multiple sequence alignment through sequence weighting, position-specific gap penalties and weight matrix choice. *Nucleic Acids Res.* 22:4673-4680. <http://www.ebi.ac.uk/clustalw>
 22. Kim, D. S., Kim, T. H., Huh, J. W., Kim, I.. C., Kim, S. W., Park, H. S. and Kim, H. S. 2006. LINE FUSION GENES: a database of LINE expression within human genes. *BMC Genomics*, 7, 139.
 23. Kohany, O., Gentles, A. J., Hankus, L. J. 2006 Annotation, submission and screening of repetitive elements in Repbase: Repbase Submitter and Censor. *BMC Bioinformatics*, Oct 25;7:474 <http://www.girinst.org/censor/index.php>
 24. Kurachi, K., Kurachi, S., Furukawa, M., and yao, S. N. 1993. Biology of factor IX. Blood coagulation fibrinolysis, 4:953-973.
 25. Le Goff, W., Guerin, M., Chapman, M. J., Thillet, J. 2003. A CYP7A promoter binding factor site and Alu repeat in the distal promoter region are implicated in regulation of human CETP gene expression. *J Lipid Res*, 44:902 - 9910.
 26. Lu S. and Cullen. Bryan R. 2003. Analysis of the stimulatory effect of splicing on mRNA production and utilization in mammalian cells ,*RNA Society* Vol. 9 pp.618-630.

27. Manenti G., De Gregorio L., Pilotti S., Falvella F. S., Incarbone M., Ravagnani F., Pierotti M. A., Dragani T. A. 1997. Association of chromosome 12p genetic polymorphisms with Lung adenocarcinoma risk and prognosis," *Carcinogenesis* 18: 1917–20.
28. Matsutani, S. 2006. Links between repeated sequences *J Biomed Biotechnol* ; V2006, P: 1–3.
29. Medstrand, P., van de Lagemaat, L. N., Dunn, C. A., Landry, J. R., Svenback, D., Mager, D. L. 2005. Impact of transposable elements on the evolution of mammalian gene regulation. *Cytogenet Genome Res*, 110:342-345.
30. Norris, J., Fan, D., Aleman, C., Marks, J. R., Futreal, P. A., Wiseman, R. W., Igglehart, J. D., Deininger, P. L., McDonnell, D. P. 1995. Identification of a new subclass of Alu DNA repeats which can function as estrogen receptor-dependent transcriptional enhancers. *J Biol Chem*, 270:22777-227.
31. Oei, S. L., Babich, V. S., Kazakov, V. I., Usanova, N. M., Kropotov, A. V., Tomilin, N. V. 2004. Clusters of regulatory signals for RNA polymerase II transcription associated with Alu family repeats and CpG islands in human promoters. *Genomics*, 83:873-8.
32. Palmiter, R. D., Sandgrent, E. P., Avarbockt, M. R., Allen, D. D. and Brinster, R. L. 1991. Heterologous introns can enhance expression of transgenes in mice, *Proc. Nati. Acad. Sci. USA*, Vol. 88, pp. 478-4.
33. Pearson, W. R. and Lipman, D. J. 1988. Improved tools for biological sequence comparison. *PNAS* 85:2444- 2448.
34. Pesole, G., Mignone, F., Gissi, C., Grillo, G., Licciulli, F., Liuni, S. 2001 Structural and functional features of eukaryotic mRNA untranslated regions. *Gene*. 276:73-81.
35. Piedrafita, F. J., Molander, R. B., Vansant, G., Orlova, E. A., Pfahl, M., Reynolds, W. F. 1996. An Alu element in the myeloperoxidase promoter contains a composite SP1-thyroid hormone-retinoic acid response element. *J Biol Chem* 271:14412 -114420.
36. Plantier, J. L., Rodriguez, M. H, Enjolras N., Attali, O., Negrier, C. 2001. A factor VIII minigene comprising the truncated intron I of factor IX highly improves the in vitro production of factor VIII. *Thromb. Haemost*; 86:596-603.
37. Pusan National University, PhyloDRAW, Ver.0.8, Copyright (1999), <http://pearl.cs.pusan.ac.kr/phylodraw/>
38. Rohrer, J. and Ellen Conley, M. 1998. Transcriptional Regulatory Elements within the first intron of bruton's tyrosine kinase. *Blood*, Vol 91, No 1. pp 214-221.
39. Salamov, A. A. and Solovyev, V. V. 1997. Recognition of 3'-processing sites of human mRNA precursors. *Comput. Appl. Biosci.*, 13, 23–28. <http://dot.imgen.bcm.tmc.edu:9331/gene-finder/gf.html>)
40. Solovyev, V. V. and Kolchanov, N. A. 1994. Search for functional sites using consensus In Computer analysis of Genetic macromolecules. (eds. Kolchanov N.A., Lim H.A.), *World Scientific*, p.1621. <http://www.softberry.com/berry.phtml>
41. Solovyev, V. V., Shahmuradov, I. A. 2003. PromH: Promoters identification using orthologous genomic sequences. *Nucleic Acids Res.* 31(13):3540-3545. <http://www.softberry.com/berry.phtml>
42. Sorek, R., Ast, G. and Graur, D. 2002. Alu-containing exons are alternatively spliced. *Genome Res.*, 12, 1060–1067.
43. Spicher, A., Guicherit, O. M., Duret, L., Aslanian, A., Sanjines, E. M., Denko, N. C., Giaccia, A. J., Blau, H. M. 1998. Highly conserved RNA sequences that are sensors of environmental stress. *Mol Cell Biol* 18:7371-73
44. Tatusova, T. A., Madden, T. L. 1999. Blast 2 sequences - a new tool for comparing protein and nucleotide sequences", *FEMS Microbiol Lett*. 174:247-25. Align two sequences (bl2seq)
45. Ying, S. Y., and Lin, S. L. 2004. Intron-derived microRNAs—fine tuning of gene functions, *Gene* 342, pp. 25–28
46. Zhang, Z., Schwartz, S., Wagner, L. and Miller, W. 2000. A greedy algorithm for aligning DNA sequences", *J Comput Biol.* 7(1-2):203-14. <http://www.ncbi.nlm.nih.gov/BLAST/>

Analysis of the Non-Coding Region of the Human Factor VIII Gene in Comparison with Selected Regions of the Intron 1 of Human Factor IX

Haddad Mashadrizeh A.A.^{1,2}, Zomorodipour A.¹, Sabouni F¹, and Hemmat J.^{1,3}

¹ National Institute for Genetic Engineering & Biotechnology Tehran, I.R. of Iran

² Institute of Biotechnology, Department of Biology, Faculty of Science, Ferdowsy University of Mashad, Mashad, I. R. Iran

³ Biotechnology Dept., Institute of Advanced Technologies-IROST, Tehran, I.R. of Iran

Abstract

To identify possible regulatory elements in the intronic regions of human coagulation factor VIII (hFVIII) gene, the non-coding sequences of this gene were compared to a selected parts of human factor IX (hFIX) intron-1 sequences whose regulatory functions had been suggested previously. With this aim, seven overlapping fragments of hFIX intron-1 were separately compared to the whole sequences taken from 25 introns of hFVIII gene. This comparative study has resulted in detection of several repeated sequences within hFVIII intronic regions, varying in size from 50 to 350 base pairs that are homologues to that of the hFIX-derived sequences. The detected elements show more than 74% homology to that of the sequences taken from hFIX gene. Although it is not possible to show a direct correlation between the numbers of repeated elements found in each intron and the intron length. However it seems that the distribution pattern and the number of repeated elements among hFVIII introns and within each intron are not random. In other word, the results show that the numbers of repeats in the first and last introns in the gene are higher than those of other internal introns. Reverse direction of a number neighboring elements in some of the introns may lead to the formation of stem-loop structures that might be effective in the stability of the hFVIII mRNA precursor. A survey within the 5'- and 3'-untranslated regions of the hFVIII gene detected a common sequence which is repeated in each region. Comparison of the repeated elements to the major repeated elements in human genome shows that the detected elements belong to sub-families of retrotransposon-derived elements, known as Alu sequences. Further sequence analysis of the repeated elements indicates in the presence of many short sequences with the potential of transcription-factor binding activity that supports the regulatory function of the repeated elements found in the hFVIII intronic regions. Experimental analysis of the detected sequences to examine their potential regulatory function on a candidate reporter gene is the next step to this work.

Keywords: human coagulation factors VIII & IX gene, noncoding regions, gene regulation, repetitive elements, intron.